

Усиление угловой дисперсии лазерных гармоник высокого порядка при взаимодействии с плотными плазменными кластерами

Л.А. Литвинов¹, А.А. Андреев^{1, 2}

¹Санкт-Петербургский государственный университет, Санкт-Петербург

²Физико-технический институт имени А.Ф.Иоффе, Санкт-Петербург

Аннотация

Периодические поверхностные решетки и фотонные кристаллы являются отличными инструментами для дифракции и направления света. Однако этот метод менее эффективен в случае экстремального ультрафиолетового света из-за высокого поглощения любого материала в этом диапазоне частот. В работе исследуется возможность усиления угловой дисперсии излучения XUV-диапазона за счет рассеяния на подходящих сферических кластерах. В рамках работы была разработана аналитическая модель с использованием диэлектрической функции Друде плазмы и теории рассеяния Ми. Модель построена в квазистатическом приближении, так как время ионизации меньше длительности импульса, что значительно меньше времени разлета плазмы. В рамках модели мы используем предельные формы функций Бесселя, поскольку нас интересуют только частицы, размеры которых меньше длины волны падающего излучения. Оценены резонансные параметры мишени для десятой гармоники Ti:Sa лазер, найдено усиление рассеянного поля в резонансном случае по сравнению с лазерной гармоникой. Используя те же условия резонанса для одного кластера, мы моделируем дифракцию на массиве таких кластеров с помощью кода CELES. Полученные результаты показывают значительное усиление рассеянного поля в резонансном случае для больших углов и соответствуют теории дифракции Брэгга-Вульфа. При помощи particle-in-cell моделирования была подтверждена квазистационарность плотности плазменных кластеров, что дает возможность значительно упростить расчет структур, подходящих для управления высокими гармониками лазерного излучения в XUV-диапазоне с помощью ионизированного кластерного газа.

1 Введение

2 Аналитическая модель

3 Стационарные вычисления

3.1 Одиночный кластер

3.2 Оправдание стационарной модели

В общем случае расчет взаимодействия высокоинтенсивного импульса лазерного излучения с группой плотных сферических кластеров, расположенных в трехмерном пространстве, требует длительных и сложных нестационарных вычислений ввиду того, что распределение электронной плотности кластеров в результате взаимодействия с лазерным импульсом изменяется с течением времени.

Для проверки масштабов изменения электронной плотности в рассматриваемом случае было проведено моделирование эволюции распределения электронной плотности в одномерном пространстве отдельного кластера. Для моделирования был взят код LPIC++ [1].

В качестве источника был задан фронтальный линейно поляризованный лазерный импульс с длиной волны $\lambda_{10} = 83$ нм и длительностью τ . Период лазерного излучения, соответствующий лазерной гармонике, равен $T = \lambda_L c^{-1} \approx 2.8$ фс, поэтому длина импульса в моделировании была взята $\tau = 10T = 28$ фс, время моделирования $t = 20T = 56$ фс. Плазма представлена 2000 частицами в каждой ячейке, занятой мишенью, расположенной в центре бокса шириной $w_{box} \approx 2\lambda_{10}$; электронная плотность мишени в критических единицах равна $n_{el} = 4.4n_c$. Относительная амплитуда импульса a_0 равна:

$$I_h \lambda_{10}^2 = a_0^2 \times 1.37 \cdot 10^{14} \text{ Вт} \cdot \text{мкм}^2 / \text{см}^2 \quad (1)$$

$$a_0 = \frac{\lambda_{10}}{\sqrt{1.37} \cdot 1 \text{ мкм}} \approx 7 \cdot 10^{-4}$$

В качестве мишеней были взяты одиночные кластеры радиуса $a = 9$ и 20 нм (рис. 1).

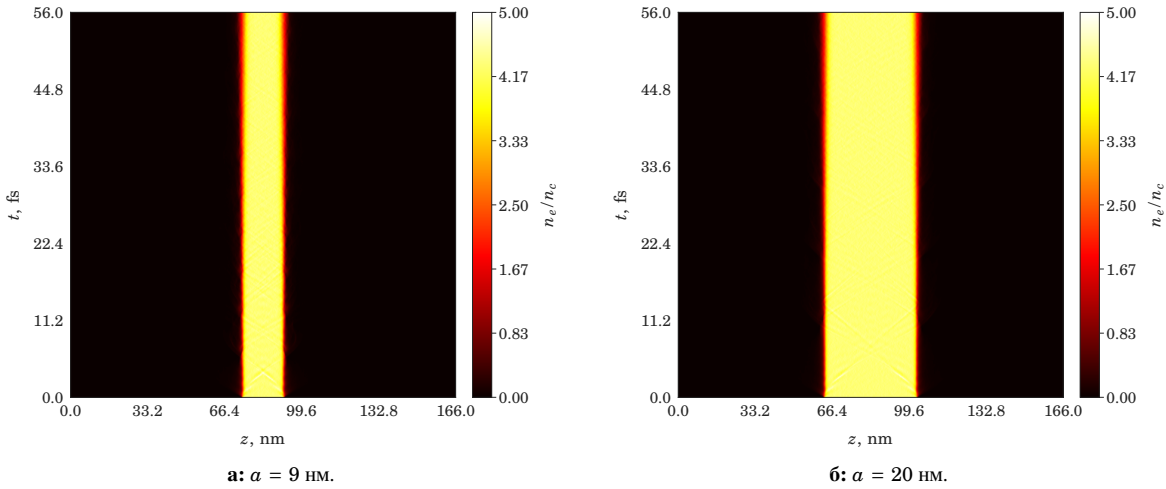


Рис. 1: Взаимодействие одномерной мишени с 10-ой гармоникой, $\lambda_{10} = 83$ нм.

По полученным результатам была рассчитана средняя суммарная толщина переходного слоя в процессе взаимодействия со внешним импульсом, которая оказалась одинаковой для обеих случаев и равна $h_{tr} \approx 3$ нм. Таким образом $h_{tr} \ll \lambda_{10}$, что показывает квазистационарность электронной плотности мишени при взаимодействии с десятой гармоникой.

3.3 Множество кластеров

В рамках в рамках стационарной теории рассеяния Ми было рассмотрено множество кластеров в виде протяженного газового слоя с регулярной и квазирегулярной пространственной конфигурацией для исследования возможности рассеяния такими структурами на большие углы жёсткого ультрафиолетового излучения, в частности соответствующего гармоникам высокого порядка.

В качестве регулярного распределения была выбрана примитивная кубическая решетка с расстоянием между соседними кластерами d . Квазирегулярное распределение было построено при помощи внесения случайных сдвигов координат центров кластеров с произвольной нормой сдвига в диапазоне $0 \leq |\Delta d| \leq \eta d$, где $0 \leq \eta < 0.5$ — степень нерегулярности. При $d = 2\lambda_{10}$ расстояние между соседними кластерами:

$$2(1 - \eta)\lambda_{10} \leq d_{\text{irreg}} \leq 2(1 + \eta)\lambda_{10} \quad (2)$$

В квазирегулярном случае моделирование было проведено несколько раз с целью усреднения и получения обобщенной картины рассеянного поля. Для вычислений был использован программный код CELES [2].

3.3.1 Условие дифракции Брэгга-Вульфа

Условие дифракции в случае регулярной решетки:

$$2d \sin(\theta + \varphi) = 4\lambda_{10} \sin(\theta + \varphi) = n\lambda, \quad n = \frac{4\lambda_{10}}{\lambda} \sin(\theta + \varphi), \quad (3)$$

где θ — угол между направлением падающего излучения и нормалью к поверхности структуры \vec{n} , φ — угол между нормалью к поверхности \vec{n} и вектором решетки структуры \vec{K} . Для квазирегулярного распределения в слое вместо точного d использовано усредненное расстояние между кластерами, которое за счет использования равномерного распределения (выр. 7) в построении сдвигов будет примерно равно d .

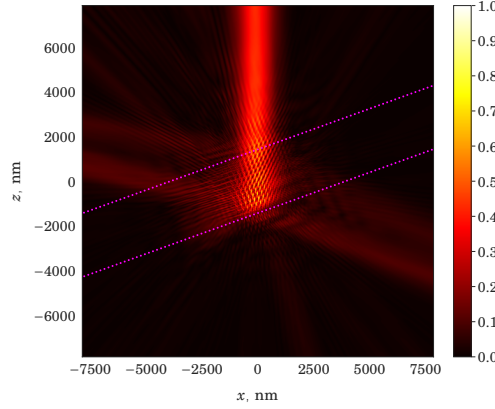


Рис. 2: .

3.3.2 Резонансное рассеяние лазерной гармоники

Для того, чтобы найти оптимальный угол рассеяния при помощи численного моделирования, введена следующая интегральная характеристика:

$$E_{\text{int}}(\eta, \theta, w) = \int_{S_{\theta, w}} dS |\mathbf{E}_s|_{\eta=\eta}^2 \quad (4)$$

$$S_{\theta, w} = \left\{ x, y : x \tan \theta - \frac{w}{2 \cos \theta} \leq y \leq x \tan \theta + \frac{w}{2 \cos \theta}, y > x \tan \left(\theta + \frac{\pi}{2} \right) - \frac{F(a, d, e)}{2 \sin \theta} \right\}, \quad (5)$$

$$F(a, d, e) = 2a + d(e - 1),$$

где интегрирование по сути представляет собой суммирование значений в указанной области $S_{\theta, w}$, $F(a, d, e)$ — полная толщина газового слоя, θ — угол падения излучения, w — параметр ширины гауссова пучка. Варьируя θ , был обнаружен оптимальный для резонансного рассеяния угол $\theta = 14.324^\circ$, соответствующий наиболее интенсивному рассеянию в направлении минус первого дифракционного максимума при $d = 2\lambda_{10}$. При этом угол $\varphi = 0^\circ$ для простоты, а $w = 1700$ нм (рис. 3).

Рассеянные поля, полученные при моделировании, представлены на рис. 4. В этом случае мишень более реалистична, так как состоит из материала с реалистичной электронной плотностью $n_{el} = 5.7 \cdot 10^{23} \text{ см}^{-3} \approx 4.4 n_c$ для $\lambda_{10} = 83$ нм. В качестве падающего поля был использован гауссов пучок с той же интенсивностью, что и в случае с одиночным кластером $I_L \approx 10^{18} \text{ Вт/см}^2$, $I_h = I_{10} \approx 10^{14} \text{ Вт/см}^2$, параметром ширины $w = 1700$ нм, направленный вдоль оси z и поляризованный вдоль оси x .

На 4а, 4б видна значительная разница между резонансным и нерезонансным случаем — рассеяное поле 10-ой гармоники четко ограничено, хорошо видно рассеяние в двух направлениях, соответствующих минус первому и первому порядкам дифракции (выр. 3), амплитуда поля превышает таковую в отсутствии резонанса более, чем в 10 раз, что соответствует условию Брэгга-Вульфа при найденном угле.

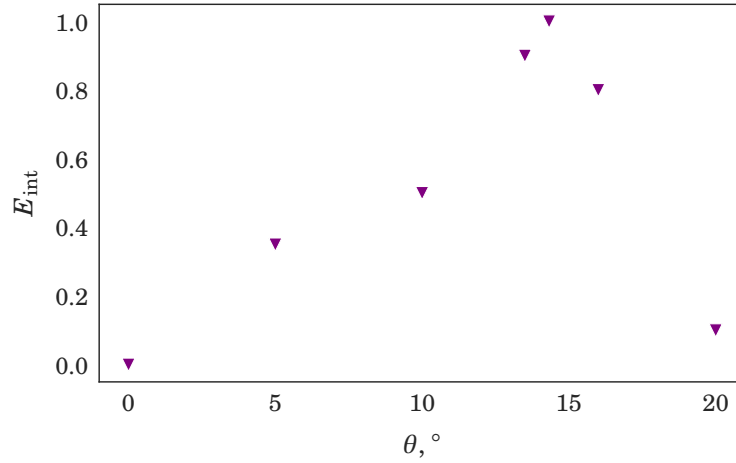


Рис. 3: Зависимость относительной характеристики выпр. 6 от угла падения θ при $\eta = 0$.

3.3.3 Направленная энергия в зависимости от нерегулярности расположения кластеров

Для того, чтобы определить, как нерегулярность расположения кластеров в слое влияет на количество излучения, отклоненного от направления падения, было смоделировано рассеяние на множествах кластеров с различными диапазонами нормы сдвига Δd в соответствии с выпр. 7. Для получения энергетической характеристики, квадрат рассеянного поля был проинтегрирован на прямоугольной области с шириной w , соответствующей ширине падающего пучка, вне газового слоя в направлении минус первого дифракционного максимума θ (выпр. 6).

$$E_{\text{int}}^{\text{norm}}(\eta, \theta, w) = \frac{E_{\text{int}}(\eta, \theta, w)}{E_{\text{int}}(0, \theta, w)} \quad (6)$$

где a — радиус одиночного кластера, d — среднее расстояние между центрами соседних кластеров, e — ширина газового слоя (в количестве кластеров). Интегрирование было проведено при помощи подсчета интегральных сумм с единичным шагом, то есть суммированием значений в области интегрирования. Полученный результат был нормирован на соответствующую интегральную характеристику в случае регулярной структуры расположения кластеров (рис. 4в).

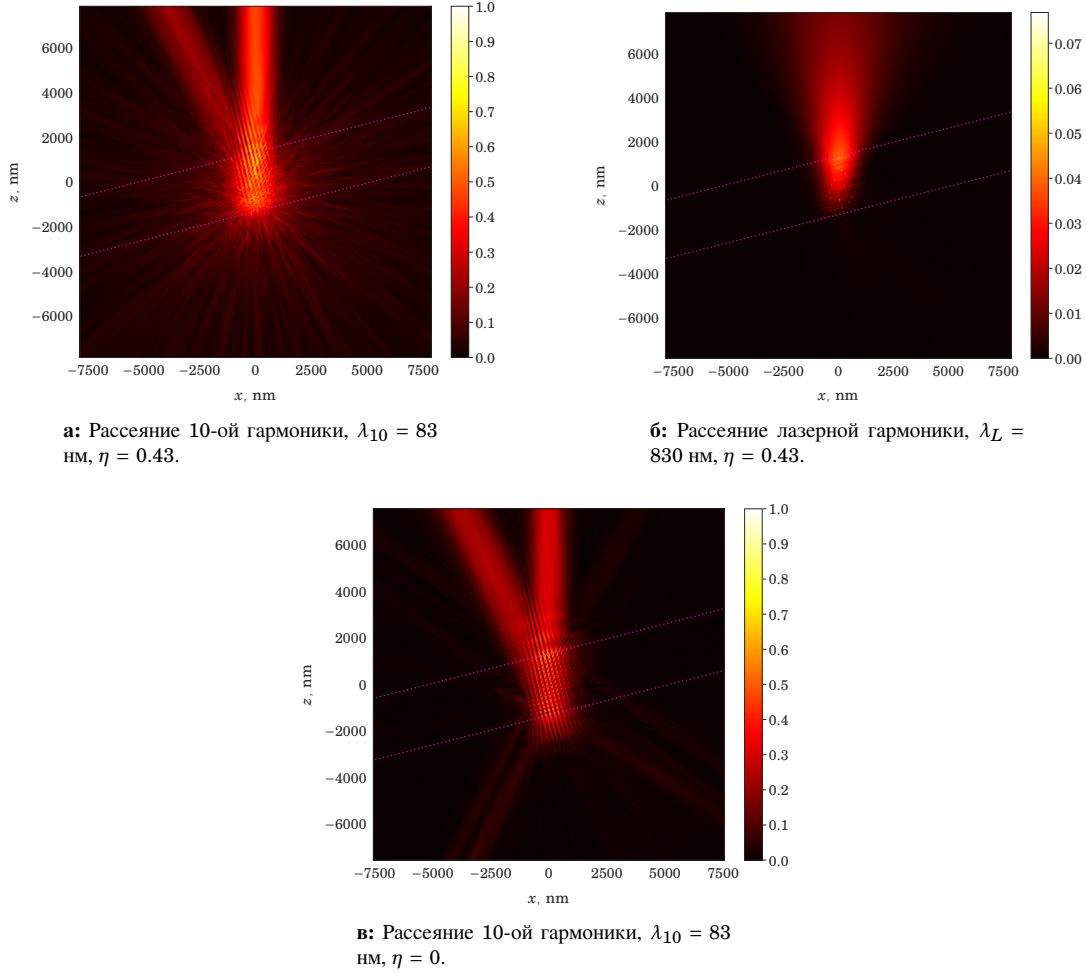


Рис. 4: Рассеяние гауссова пучка ширины $w = 1700$ нм на слое квазирегулярно расположенных кластеров размера $ka = 0.7$ ($a \approx 8.9$ нм). Угол падения $\theta = 14.324^\circ$. Границы газового слоя обозначены пурпурным цветом. Амплитуда $|\mathbf{E}_s|^2$ построена в плоскости поляризации падающей волны, нормирована на максимальную амплитуду в случае рассеяния 10 гармоники.

Приложение

Случайный сдвиг кластера в пространственной решетке

Процесс вычисления сдвига для отдельного кластера описывается следующим образом:

$$\begin{aligned}
 P_0 &= (x_0, y_0, z_0) \\
 \Delta_{xyz} &= (\Delta_x, \Delta_y, \Delta_z) = \text{rand.uniform}(-1, 1)_{\text{size}=3} \\
 \Delta_{xyz} &= \text{rand.uniform}(0, \eta d) \frac{\Delta_{xyz}}{|\Delta_{xyz}|} \\
 P_1 &= P_0 + \Delta_{xyz}
 \end{aligned} \tag{7}$$

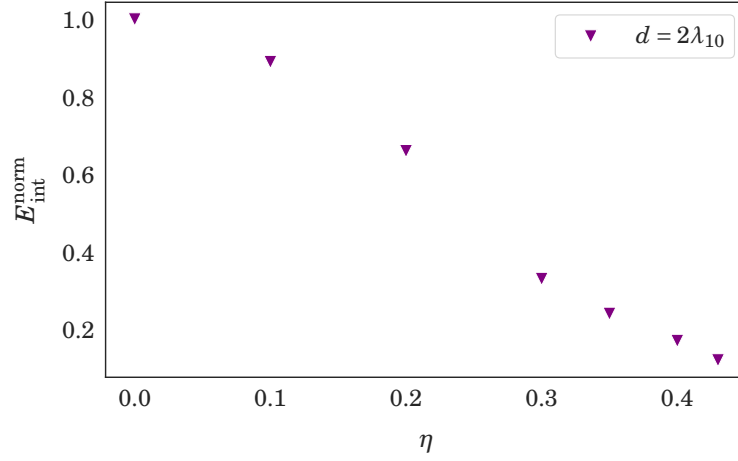


Рис. 5: Зависимость относительной характеристики вып. 6 от нерегулярности η .

Резонансная электронная плотность в первом приближении

В зависимости от нормированного радиуса сферического кластера $x = ka$ и порядка сферической гармоники n :

$$m^2(x, n) = \frac{8n^2(n+1) - (6n+3)x^2 + 6n}{2nx^2(2n-1)} \left[1 + \sqrt{1 - \frac{4n(n-3+4n^2(n+2))(x^2+4n-2)x^2}{(8n^2(n+1) - (6n+3)x^2 + 6n)^2}} \right] \quad (8)$$

$$\frac{n_e}{n_c} = (1 - m^2)(1 + i\beta_e) \quad (9)$$

Список литературы

- [1] R. E. W. Pfund, R. Lichters, and J. M. ter Vehn, “LPIC++ a parallel one-dimensional relativistic electromagnetic particle-in-cell code for simulating laser-plasma-interaction,” in *AIP Conference Proceedings*, AIP, 1998.
- [2] A. Egel, L. Pattelli, G. Mazzamuto, D. Wiersma, and U. Lemmer, “CELES: CUDA-accelerated simulation of electromagnetic scattering by large ensembles of spheres,” *J Quant Spectrosc Radiat*, vol. 199C, pp. 103–110, 2017.